

07; 12

© 1991

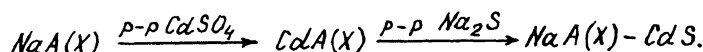
СИНТЕЗ, ОПТИЧЕСКИЕ И ФОТОЭЛЕКТРИЧЕСКИЕ  
СВОЙСТВА ТРЕХМЕРНЫХ СВЕРХРЕШЕТОК  
КЛАСТЕРОВ  $CdS$  В ЦЕОЛИТАХ ТИПОВ А И Х

В.Н. Б о г о м о л о в, М.С. И в а н о в а,  
В.П. П е т р а н о в с к и й, В.В. П о б о р ч и й,  
В.Г. С о л о в ѿ в, С.И. Ш а г и н

Нами синтезированы кластеры  $CdS$  в цеолитовых полостях. Этот способ создания ультрадисперсных (УД) полупроводников имеет преимущества перед традиционными методами (синтез коллоидных частиц в растворах или с теклообразных матрицах [1-3]) благодаря идентичности, высокой концентрации ( $\sim 5 \cdot 10^{20} \text{ см}^{-3}$ ) и малым размерам ( $\leq 10 \text{ \AA}$ ) получаемых частиц. Кроме того, следует отметить, что в силу упомянутых достоинств цеолиты, содержащие кластеры полупроводников, могут представлять интерес как среды, перспективные для записи информации с высокой плотностью.

Существуют различные способы получения УД частиц в цеолитовых полостях: адсорбция, введение веществ под давлением из расплава, прямой химический синтез [4, 5]. Структура использованных нами цеолитов типов А и Х описана в [6] и представляет собой алюмокремнекислородный каркас, построенный из чередующихся тетраэдров  $SiO_4$  и  $AlO_4$ ; избыточный заряд тетраэдров  $AlO_4$  компенсируется катионами металлов, занимающими определенные кристаллографические позиции. Каркасы построены таким образом, что в случае цеолита А образуются полости диаметром  $11.4 \text{ \AA}$ , разделенные окнами диаметром  $4.2 \text{ \AA}$ , а в случае цеолита Х —  $\sim 13 \text{ \AA}$  и  $7.4 \text{ \AA}$  соответственно. Кроме упомянутых больших полостей в обоих цеолитах имеются малые полости диаметром  $6.6 \text{ \AA}$  (содалитовые ячейки) с входными окнами диаметром  $2.2 \text{ \AA}$ .

Ультрадисперсный  $CdS$  получен нами посредством следующих реакций в водных растворах:



Символы  $Na$  и  $Cd$  перед названием цеолита указывают катионную форму. Для увеличения содержания  $CdS$  реакция может быть повторена. Визуально появление  $CdS$  в цеолитах можно контролировать по бледно-желтой окраске кристаллов, которые в исходном состоянии бесцветны.

В настоящей работе измерялись спектры поглощения (СП), комбинационного рассеяния (СКР) и фотопроводимости (СФ) получен-

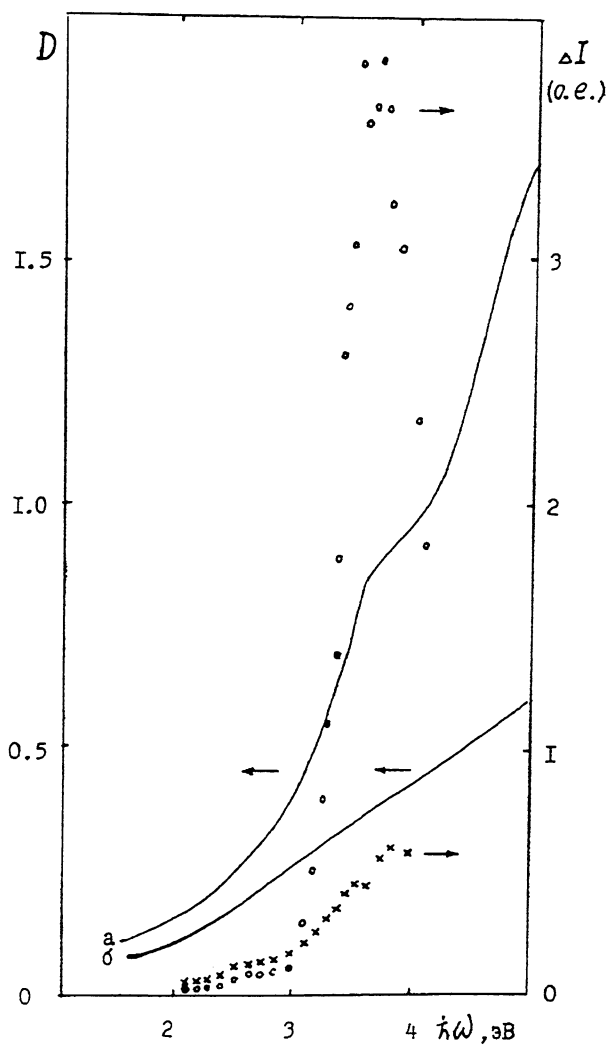


Рис. 1. Спектры оптической плотности монокристаллов  $X - CdS$  (а),  $A - CdS$  (б) и фототока —  $X - CdS$  (о),  $A - CdS$  (х).

ных кристаллов  $A - CdS$  и  $X - CdS$ . Соответствующие спектры исходных цеолитов мы не приводим, т. к. их интенсивность либо ничтожно мала (СП, СКР) в измеренном частотном диапазоне, либо эффект отсутствует вовсе (СФ).

Все измерения проводились на монокристаллах размерами  $\sim 30$ – $50$  мкм. Измерительные установки, предназначенные для работы с микрообразцами, представляли собой самостоятельно сконструированные комбинации оптически согласованных стандартных микроскопов и монохроматоров, выпускаемых ЛОМО. С деталями измерений СФ монокристаллов можно ознакомиться в [7].

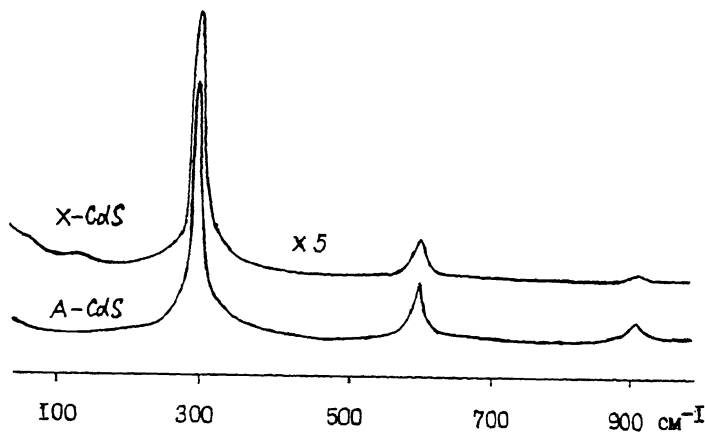


Рис. 2. СКР монокристаллов X- $\text{CdS}$  и A- $\text{CdS}$  (в низкочастотной области спектра использовались данные СКР соответствующих кристаллических порошков),  $\lambda_o=5145 \text{ \AA}$ .

СП измерялись в диапазоне 1–5 эВ. В СП X- $\text{CdS}$  отчетливо проявляется полоса  $\sim 3.7$  эВ (рис. 1). Подобная полоса  $\sim 3.5$  эВ наблюдалась в спектрах диффузного отражения кристаллических порошков цеолита типа Y, содержащего в содалитовых ячейках кластеры  $(\text{CdS})_4$ , [8], имеющие форму слегка искаженного куба. (Структура цеолита Y подобна структуре цеолита X). Метод получения таких кластеров существенно отличается от метода, примененного в настоящей работе. Однако, вероятно, вследствие предпочтительного расположения катионов кадмия в содалитовых ячейках цеолитов  $\text{CdX}$  и  $\text{CdY}$  [9] в полученных нами кристаллах X- $\text{CdS}$  образуются кластеры  $(\text{CdS})_4$ , как и в [8]. При этом в больших полостях, по-видимому, также образуются кластеры  $\text{CdS}$ , размер и структура которых неизвестны.

По данным СП минимальных частиц  $\text{CdS}$ , полученных в коллоидных растворах ( $\sim 28 \text{ \AA}$  [1],  $\sim 15 \text{ \AA}$  [2]) и в стеклах ( $\sim 24 \text{ \AA}$  [3]), полоса поглощения, обусловленная переходом между верхним заполненным и нижним свободным размерно-квантованными уровнями, расположена при  $\sim 3.5$  эВ,  $\sim 4.0$  эВ и  $\sim 3.5$  эВ соответственно. Исходя из этих данных, можно было бы ожидать более высокоэнергетического положения аналогичной полосы для кластеров  $(\text{CdS})_4$ , чем у наблюданной нами полосы  $\sim 3.7$  эВ. В работе [8] было высказано предположение о сильном взаимодействии кластеров  $(\text{CdS})_4$  в соседних содалитовых ячейках, что и приводит к понижению энергии рассматриваемого перехода. Ниже нами будет подтверждено наличие такого взаимодействия.

В СП кристаллов A- $\text{CdS}$  полосы, подобной наблюдавшейся в СП X- $\text{CdS}$ , не обнаружено, виден лишь монотонный рост поглощения с увеличением (рис. 2). Отсутствие полосы  $\sim 3.7$  эВ в СП A- $\text{CdS}$  связано, на наш взгляд, с малым количеством или от-

существием кластеров ( $CdS$ )<sub>4</sub> в содалитовых ячейках цеолита А вследствие малого количества катионов  $Cd^{2+}$  в содалитовых ячейках  $CdA$  [10]. Кластеры  $CdS$  в цеолите А, на наш взгляд, образуются в основном в больших полостях.

На рис. 2 представлены СКР монокристаллов A- $CdS$  и X- $CdS$ . В обоих спектрах отчетливо проявляется эффект резонансного комбинационного рассеяния на колебании с частотой 302 см<sup>-1</sup>. Близость наблюдаемой частоты и частоты LO-фона кристалла  $CdS$  305 см<sup>-1</sup> [11] говорит о близости межатомных расстояний в кластерах и в кристалле. Полуширины полос 302 см<sup>-1</sup> в A- $CdS$  и X- $CdS$  составляют  $\sim 12$  см<sup>-1</sup> и  $\sim 15$  см<sup>-1</sup> соответственно. Более широкие полосы в случае X- $CdS$ , на наш взгляд, подтверждают представления о кластерах ( $CdS$ )<sub>4</sub> в содалитовых ячейках цеолита X, сильно взаимодействующих друг с другом, а также с матрицей. Для кластеров  $CdS$  в больших полостях цеолита А оба типа взаимодействия должны быть несколько слабее.

Наиболее ярко эффекты взаимодействия кластеров  $CdS$  в цеолитах проявились в обнаруженных и исследованных нами фотоэлектрических свойствах кристаллов A- $CdS$  и X- $CdS$ . На рис. 1 представлены СФ монокристаллов A- $CdS$  и X- $CdS$ . Они довольно хорошо коррелируют с соответствующими СП этих кристаллов, причем пик  $\sim 3.7$  эВ в СФ X- $CdS$  более ярко выражен, чем в СП. Как и следовало ожидать, более сильный фототок наблюдается в случае X- $CdS$ , где взаимодействие между кластерами сильнее. Интересно отметить, что кристаллы X- $CdS$  в несимметричных контактах проявляют фотоэдс  $\sim 0.3$  В со спектральной чувствительностью, несколько сдвинутой в сторону высоких энергий относительно СФ.

Механизм фотопроводимости в X- $CdS$  нам представляется достаточно простым. Взаимодействие между кластерами ( $CdS$ )<sub>4</sub> (расстояние между ближайшими атомами Cd в соседних содалитовых ячейках составляет  $\sim 6$  Å [10]) приводит к образованию минизон из размерно-квантованных электронных состояний кластеров, по которым и осуществляется фотопроводимость.

Таким образом, рассмотренные нами системы представляют собой новый тип полупроводниковых сверхрешеток – трехмерные кластерные сверхрешетки. Обнаружение фотоэффекта в таких системах интересно не только с научной точки зрения, но и в совокупности с обнаруженным ранее обратимым фотопотемнением цеолитов, содержащих кластеры селена [12], демонстрирует возможность практического примененияnanoструктур на основе цеолитов в качестве новых фоточувствительных сред.

#### Список литературы

- [1] Rossetti R., Hull R., Gibson J.M., Brus L.E. // J. Chem. Phys. 1985. V. 82. P. 552.

- [2] H e n g l e i n A. // Chem. Rev. 1989. V. 89. P. 1861.
- [3] E k i m o v A.I., E f r o s A.I.L., O n u - s h c h e n k o A.A. // Sol. St. Comm. 1985. V. 56. P. 921.
- [4] Б о г о м о л о в В.Н. // УФН. 1978. Т. 124. С. 171.
- [5] А л е к с е е в Ю.А., Б о г о м о л о в В.Н., Ж у - к о в а Т.Б., П е т р а н о в с к и й В.П., Р о м а - н о в С.Г., Х о л о д к е в и ч С.В. // Изв. АН СССР. Сер. физ. 1986. Т. 50. С. 418.
- [6] Б р е к Д. Шеолитовые молекулярные сита. М.: Мир, 1976.
- [7] М а р к о в В.Н., С о л о в ъ е в В.Г. // ПТЭ. 1990. № 5. С. 232.
- [8] H e r r o n N., W a n g Y., E d d y M.M., S t u c k y G.D., C o x D.E., M o l l e r K., B e i n T. // J. Am. Chem. Soc. 1989. V. 111. P. 530.
- [9] C a l l i g a r i s M., N a r d i n G., R a n - d a c c i o L., Z a n g r a n d o E. // Zeoli - tes. 1986. V. 6. P. 439.
- [10] C u s k e r L.B., S e f f K. // J.Phys. Chem. 1981. V. 85. P. 166.
- [11] С е 1 1 В., D a m e n T.C., P o r t o S.P.S.// Phys. Rev. 1966. V. 144. P. 771.
- [12] Б о г о м о л о в В.Н., П о б о р ч и й В.В., Х о - л о д к е в и ч С.В., Ш а г и н С.И. // Письма в ЖЭТФ. 1983. Т. 38. С. 439.

Поступило в Редакцию  
5 марта 1991 г.